

I Champs électromagnétiques

DP
2023

► Champ électrique

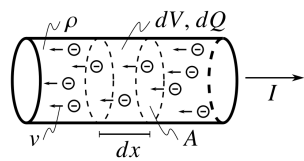
Charge élémentaire : e

$$[C = A \cdot s]$$

$$1,602 \cdot 10^{-19} C$$

Charge d'un corps : $Q = n \cdot e$, $n \in \mathbb{Z}^*$
(la charge d'un système isolé est tjs conservée)

Courant électrique : $I = \frac{dQ}{dt} = p \cdot A \cdot v$



$$\rho : \text{densité charge } \frac{C}{m^3}$$

$$A : \text{surface}$$

$$v : \text{vitesse moyenne}$$

► Force Coulomb

Force d'interaction entre charges $\sum \vec{F} = 0$

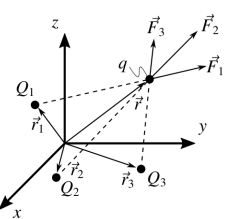
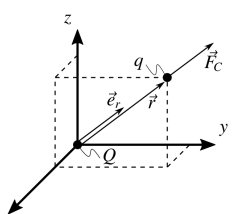
$$\vec{F}_c = \underbrace{\frac{1}{4\pi \cdot \epsilon_0}}_{\text{Coulomb constant}} \frac{qQ}{r^2} \vec{e}_r \quad \text{vecteur unité}$$

$$\text{Coulomb constant} = 8,99 \cdot 10^9 \frac{N \cdot m^2}{C^2}$$

Q : charge fixe

q : charge résiduelle

$$\vec{F}_c = \frac{q}{4\pi \epsilon_0} \sum_i Q_i \frac{\vec{r} - \vec{r}_i}{|\vec{r} - \vec{r}_i|^3}$$



$$r^2 = |\vec{r} - \vec{r}_i|^2$$

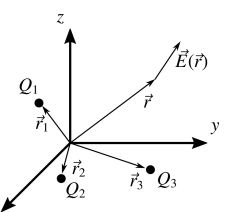
Vecteur va de charge \oplus à \ominus

► Champ électrique

Un champ est un espace ($2d, 3d$) auquel on ajoute une information scalaire ou vectorielle

Champ électrique $\vec{E} = \frac{1}{q} \cdot \vec{F}_c$

$$\vec{E}(\vec{r}) = \frac{1}{4\pi \epsilon_0} \sum_i Q_i \frac{\vec{r} - \vec{r}_i}{|\vec{r} - \vec{r}_i|^3}$$



$$\vec{E} = \vec{E}_1 + \vec{E}_2 + \dots + \vec{E}_n$$

$$\vec{E}(\vec{r}) = \frac{1}{4\pi \epsilon_0} \int_V \rho(\vec{r}') \frac{\vec{r} - \vec{r}'}{|\vec{r} - \vec{r}'|^3} dV$$

$\rho(\vec{r}')$ densité charge spatiale

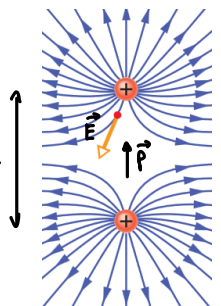
$$\text{Amplitude : } E = \frac{1}{4\pi \epsilon_0} \frac{|q|}{r^2} \quad \left[\frac{V}{m} = \frac{N}{C} \right]$$

► Champ électrique divers

$$\text{Dipôle : } E = \frac{1}{2\pi \cdot \epsilon_0} \frac{q \cdot d}{r^3}$$

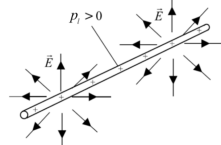
$$\text{Moment dipolaire } \vec{p} = Q \cdot \vec{d}$$

→ dans un champ électrique si le dipôle n'est pas aligné $E_{pot} = -\vec{p} \cdot \vec{E}$



Le long d'une ligne :

$$\vec{E}(\vec{r}) = \frac{\rho r}{2\pi \epsilon_0} \cdot \frac{\vec{r}}{r^2}$$



$$\text{Plaques parallèles : } \vec{E} = \frac{Q}{\epsilon_0} \cdot \frac{1}{A}$$

► Thm Gauss (1ère éq. de Maxwell)

$$\text{Flux électrique } \phi = \int \vec{E} \cdot d\vec{A} \Rightarrow E \cdot A \quad E \perp A \quad \vec{D}$$

Flux électrique traversant surface fermée autour de Q

$$E \cdot A = \frac{Q_{enc}}{\epsilon_0}$$

Flux net à travers une surface fermée

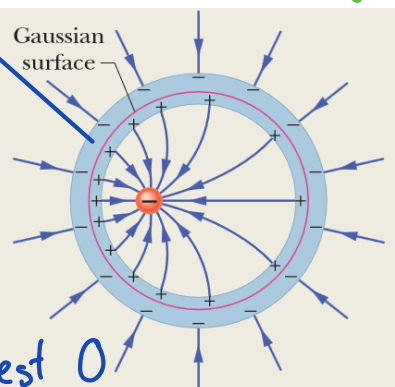
$$\oint_A \vec{E} \cdot d\vec{A} = \frac{1}{\epsilon_0} \int_V \rho(\vec{r}) dV$$

Enclosed charge

Spherical metal shell

→ le métal est neutre \Rightarrow pas de flux électrique

\Rightarrow charge net à l'intérieur de la surface gaussienne est 0



\Rightarrow les charges extérieures (\ominus) se repoussent et forment un champ uniforme.

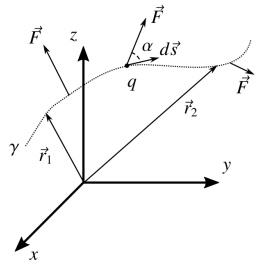
charge à la surface \rightarrow

$$\text{Pour un conducteur isolé : } E = \frac{\sigma}{\epsilon_0}$$

► Potentiel électrique

Travail, potentiel et champ $dW = \vec{F} \cdot d\vec{s} = q \cdot \vec{E} \cdot d\vec{s}$

$$\text{potentiel } \psi = \frac{-W}{q} = \frac{E_{\text{pot}}}{q}$$



$$\text{Potentiel : } \psi(\vec{r}) = - \int \vec{E} \cdot d\vec{s}$$

$$(\text{champ } E \text{ depuis potentiel } E = - \frac{\partial \psi}{\partial x})$$

$$\text{Tension champ homogène } U_{12} = \psi(\vec{r}_1) - \psi(\vec{r}_2) = \int_{\vec{r}_1}^{\vec{r}_2} \vec{E} \cdot d\vec{s} = \vec{E} \cdot \vec{S}$$

$$\text{Energie } E_{\text{cin}} = q \cdot U \rightarrow [\text{eV}] = 1,6 \cdot 10^{-19}$$

$$E_{\text{pot}} = -W$$

$$\text{Conservation } \oint \vec{E} \cdot d\vec{s} = 0$$

Loi d'Ohm locale / résistivité

$$\vec{E} = \rho_R \cdot \vec{j} = \rho_R \cdot \frac{dI}{dA}$$

► Polarisation électrique

Les molécules de la matière se polarisent et ajoute un champ électrique \vec{P} de polarisation au champ \vec{E} extérieur.

Champ el. résultant dans la matière

$$\vec{D} = \epsilon_0 \cdot \epsilon_r \cdot \vec{E}$$

effet de la matière à affaiblir le champ \vec{E}

► Capacité

$$U \propto Q = \int I dt$$

$$\text{Capacité } C = \frac{Q}{U} = \frac{\epsilon_0 \cdot \epsilon_r \oint_A \vec{E} \cdot d\vec{A}}{\int \vec{E} \cdot d\vec{s}}$$

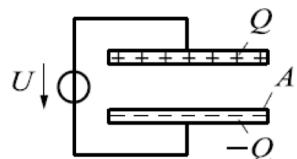
$$u(t) = \frac{1}{C} \int i(t) dt$$

$$Z_c = \frac{u(t)}{i(t)} = \frac{1}{j\omega C}$$

► Divers géométries

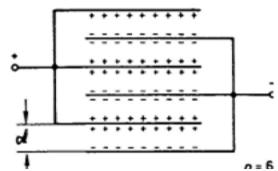
Condensateur plan

$$C = \epsilon_0 \epsilon_r \frac{A}{d}$$



Condensateur multicouches

$$C = (n-1) \epsilon_0 \epsilon_r \frac{A}{d}$$



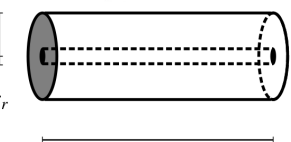
Condensateur enroulé

$$C = 2 \epsilon_0 \epsilon_r \frac{A}{d}$$



Condensateur cylindrique

$$C = \epsilon_0 \epsilon_r \frac{2\pi l}{\ln \frac{r_2}{r_1}}$$



Double ligne

$$C = \epsilon_0 \epsilon_r \frac{\pi l}{\ln \frac{d-r}{r}}$$



► Condensateur Parallèle / série

$$C_{\text{par}} = \sum_{i=1}^N C_i \quad \frac{1}{C_{\text{ser}}} = \sum_{i=1}^N \frac{1}{C_i}$$

► Energie du condensateur

$$dW = dQ \cdot \vec{E} \cdot d\vec{s} \rightarrow W_E = \frac{1}{2} C \cdot U^2$$

► Force entre plaques condensateurs plan

$$\text{Décaler les plaques de } dx \quad F = \frac{dW_E}{dx} = \frac{1}{2} U^2 \frac{dC}{dx}$$

► Champ magnétique

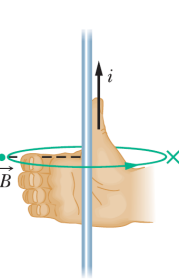
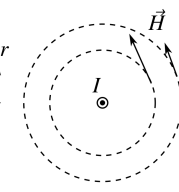
→ Courant stationnaire \Rightarrow champ magn.

Intensité champ: $H = \frac{I}{2\pi r}$ [A/m]

"Force du champ à un point de l'espace"

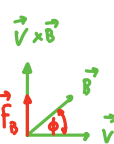
Densité flux magnétique $\vec{B} = \mu_0 \cdot \vec{H}$ [T = N/A.m]

"Force des lignes de champ dans l'espace" $\vec{B} = \frac{1}{I \cdot l} \cdot \vec{F}$



Une particule chargée en mouvement dans un champ magn. subit une force F.

$$\vec{F}_B = q \cdot \vec{v} \times \vec{B}$$

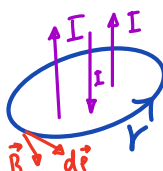


Amplitude: $B = \frac{F_B}{|q| \cdot v}$ $F_B = |q| \cdot v \cdot B \cdot \sin \phi$

► Théorème d'Ampère

Thm Ampère:

$$\oint \vec{B} \cdot d\vec{l} = \mu_0 \cdot I_{\text{enclosed}}$$



⚠ Mais il y a bien champ si $I_{\text{enclosed}} = 0$

► Loi de Biot-Savart

Loi générale champ magn. produit par élément de courant dans un conducteur

$$d\vec{B} = \frac{\mu_0}{4\pi} \frac{i d\vec{s} \times \hat{r}}{r^2}$$

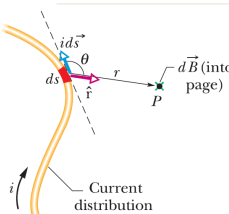


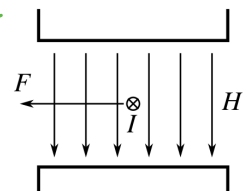
Figure 29-1 A current-length element $i ds$ produces a differential magnetic field $d\vec{B}$ at point P. The green \times (tail of an arrow) at the dot for point P indicates that $d\vec{B}$ is directed into the page there.

► Force dans un champ magnétique

Sur conducteur

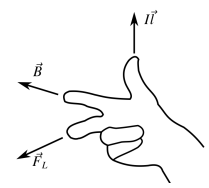
longueur du conducteur $F \propto I \cdot H \cdot l$

$$F_{\text{Lorentz}} = I (\vec{l} \times \vec{B})$$



Sur une charge en mouvement

$$\vec{F}_L = Q (\vec{v} \times \vec{B})$$



► Densité flux du solénoïde

Bobine $B = \mu_0 \cdot I \cdot N$

Tore $B = \frac{\mu_0 \cdot I \cdot N}{2\pi} \frac{1}{r}$

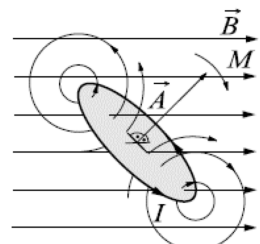
► Dipôle magnétique

Comme dans le cas du dipôle électrique (voir chap.1.4.2), le moment magnétique

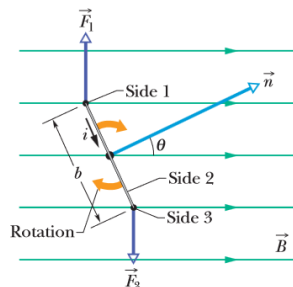
$$\vec{\rho}_m = IA$$
 (3.34)

est défini et, de ce fait, le moment de force sur la boucle conductrice plate de forme quelconque est donné par

$$\vec{M} = \vec{\rho}_m \times \vec{B} .$$
 (3.35)



Moment de force sur une boucle



► Effet Hall

$$\vec{M} = iAn \times \vec{B}$$

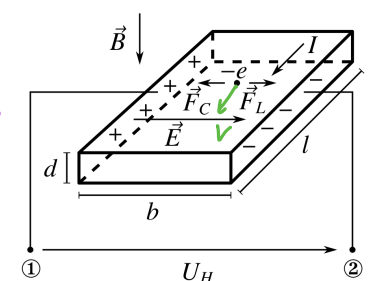
 $\vec{\rho}_m$ dipôle magn.

Un courant circule dans un conducteur qui se trouve dans un champ \vec{B} . Les charges sont déviées par Lorentz. La densité de charge sur les bords augmente et crée un champ électrique \Rightarrow équilibre

Une tension apparaît (tension de Hall)

$$U_H = E \cdot b = vBb = \frac{1}{-ne} \frac{I}{d} \cdot B$$

constante Hall $A_H = \frac{1}{-ne}$



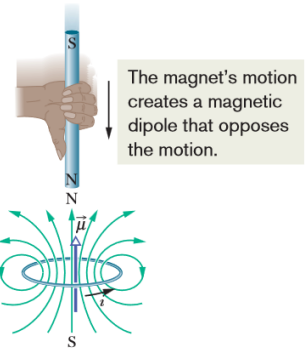
n densité charge

► Polarisation magnétique

Les dipôles élémentaires dans un morceau de matière s'alignent et modifient le champ dans la matière

Dans matière : $\vec{B} = \mu_0 \cdot \mu_r \cdot \vec{H}$

- $\mu_r < 1$: Matériaux diamagnétiques
- $\mu_r > 1$: Matériaux paramagnétiques
- $\mu_r \gg 1$: Matériaux ferromagnétiques



► Loi Gauss flux magnétique

$$\oint \vec{B} \cdot d\vec{l} = 0 \quad [Wb = V \cdot S = \frac{T}{m^2}]$$

$$= B \cdot A \cdot \cos \theta$$

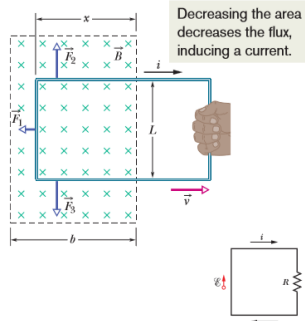
► Champ non stationnaire

► Loi d'induction de Faraday

(Changement de ϕ_B induit une tension dans la bobine (closed conducting loop))

$$U_{\text{induite}} = - \frac{d\phi_B}{dt}$$

Général : $E = \oint \vec{E} \cdot d\vec{l} = - \frac{d\phi_B}{dt}$
(Loi Faraday) $\hookrightarrow \text{ENF} \hat{=} \text{tension induite}$



Fluss : $\phi_B = B \cdot A = BLx$

Emf : $\mathcal{E} = - \frac{d\phi}{dt} = - \frac{d}{dt} BLx = BLv$

Kräfte: $\vec{F}_1 = iL \times \vec{B}$; $\vec{F}_{2,3} = \pm i\vec{x} \times \vec{B}$

Arbeit: $dW = \vec{F} \cdot d\vec{x}$

Strom: $i = \frac{\mathcal{E}}{R} = \frac{BLv}{R}$

Kraft: $F = \frac{B^2 L^2 v}{R}$

Leistung: $P = \vec{F} \cdot \vec{v} = R i^2 = \frac{B^2 L^2 v^2}{R}$

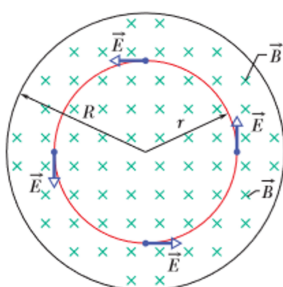
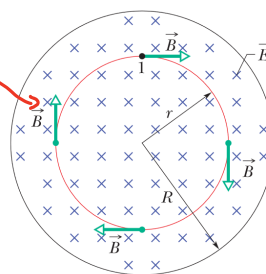
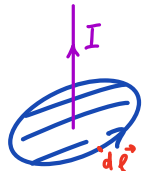
$P = R i^2 = \frac{B^2 L^2 v^2}{R}$

► Loi Lenz

► Loi de Maxwell-Ampère

$$\oint \vec{B} \cdot d\vec{l} = \epsilon_0 \cdot \frac{d\phi_E}{dt} + \mu_0 I_{\text{enc}}$$

champ magnétique induit Changing electric flux
 enclosed current



champ \vec{E} induit (Faraday)

► Constantes

A.1 Constantes physiques

Les symboles ne sont pas normalisés et peuvent être choisis librement. trois chiffres, sauf s'il sont fixées.

constante	symbole	valeur
vitesse de la lumière	c_0	$299\,792\,458 \text{ m s}^{-1}$
constante gravitationnelle	G	$6.67 \cdot 10^{-11} \text{ m}^3 \text{ kg}^{-1} \text{ s}^{-2}$
constante de Planck	h	$6.62 \cdot 10^{-34} \text{ Js}$
constante de Boltzmann	k_B	$1.38 \cdot 10^{-23} \text{ J K}^{-1}$
constante de Stefan-Boltzmann	σ	$5.67 \cdot 10^{-8} \text{ W m}^{-2} \text{ K}^{-4}$
charge élémentaire	e	$1.60 \cdot 10^{-19} \text{ C}$
masse de l'électron	m_e	$9.11 \cdot 10^{-31} \text{ kg}$
constante électrique	ϵ_0	$8.85 \cdot 10^{-12} \text{ As V}^{-1} \text{ m}^{-1}$
constante magnétique	μ_0	$4 \cdot \pi \cdot 10^{-7} \frac{\text{H}}{\text{A}}$

A.3 Permittivité relative ϵ_r

Les valeurs sont indicatives et s'appliquent à des conditions normales (25°C).

substance (de)	substance (fr)	ϵ_r
Luft	air	1.006
Transformatoröl	huile de transformateur	2.5
Kondensatorpapier	papier de condensateur	4 ... 64
Porzellan	porcelaine	4.5 ... 6.5
Glimmer	mica	4 ... 10
Glas	verre	5 ... 74
Tantaloxid	oxyde de tantale	27
Wasser	eau	81
Bariumtitannat	titanate de baryum	1000 ... 4000

II Ondes

► Équation et fonction

Paquet d'onde

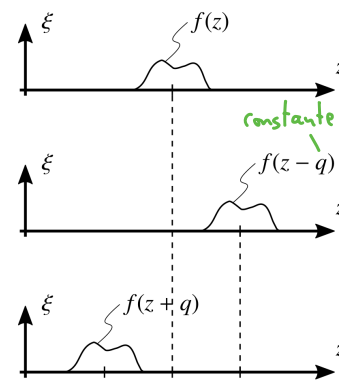
↓ remplacé q par $c \cdot t$

Fonction d'onde

$$\xi(z, t) = f(z - c \cdot t)$$

axe vitesse temps

Décrit position spatiale et temporelle



Toute fonction d'onde satisfait

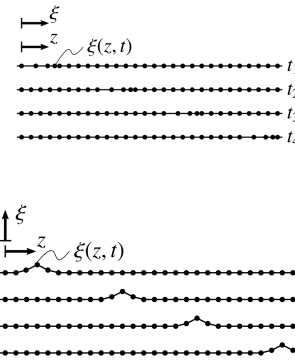
$$\frac{\partial^2 \xi}{\partial t^2} = c^2 \frac{\partial^2 \xi}{\partial z^2}$$

Onde longitudinale

Perturbation dans la direction de propagation

Onde transverse

Perturbation perpendiculaire



Toute onde peut être représentée par superposition de sinus

► Onde sinusoïdale stimulée

spatiale | temporelle déphasage

$$\xi(z, t) = \hat{\xi} \sin(kz - \omega t + \varphi_0)$$

nombre d'onde
"pulsion spatiale"

$$k = \frac{2\pi}{\lambda}$$

pulsion

$$\omega = \frac{2\pi}{T} = 2\pi f$$

vitesse propagation $C = \frac{\omega}{k} = f \cdot \lambda$

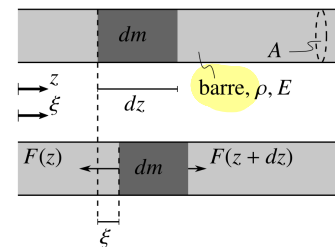
$$\xi(z, t) = \hat{\xi} e^{j(kz - \omega t)} \quad \hat{\xi} = \hat{\xi} e^{j\varphi_0}$$

► Onde mécanique

Déviations élastique des éléments de masse (matière)

$$\frac{\partial^2 \xi}{\partial t^2} = \frac{1}{\rho} \frac{\partial^2 \xi}{\partial z^2}$$

élasticité déplacement longitudinal



Vitesse propagation barre

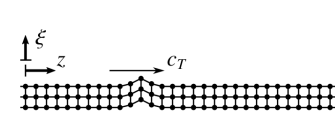
$$c_L = \sqrt{\frac{E}{\rho}}$$

modèle élasticité



$$c_T = \sqrt{\frac{G}{\rho}}$$

cisaillement

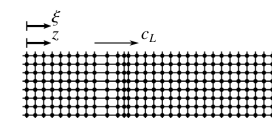


Dans un solide

$$c_L = \sqrt{\frac{E(1-\nu)}{\rho(1+\nu)(1-2\nu)}}$$

$$E = 2(1+\nu)G$$

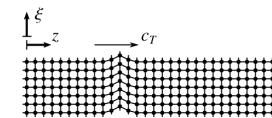
$$c_T = \sqrt{\frac{G}{\rho}}$$



Dans un fluide

$$c = \sqrt{\frac{K}{\rho}}$$

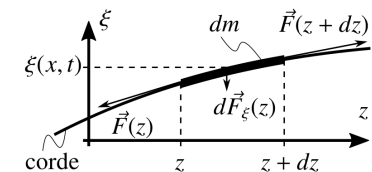
modèle compression



► Onde sur une corde

$$\frac{\partial^2 \xi}{\partial t^2} = \frac{F}{\rho A} \frac{\partial^2 \xi}{\partial z^2}$$

$\underbrace{c^2}_{\text{élastic property}}$



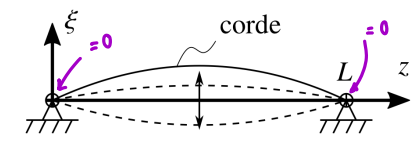
vitesse propagation : $c = \sqrt{\frac{F}{\rho A}}$

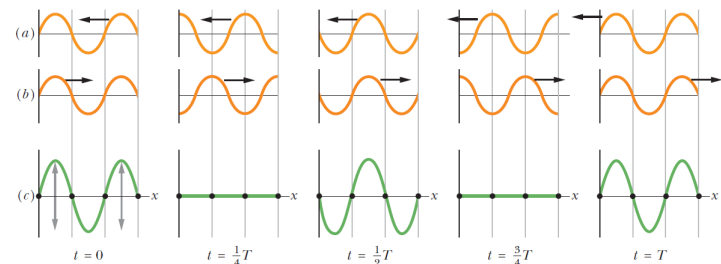
$$= \sqrt{\frac{\text{élastic property}}{\text{inertia property}}} \quad \rho A = \frac{m}{l} = \mu$$

puissance moyenne : $P_{avg} = \frac{1}{2} \mu c \omega^2 \xi^2$

► Onde stationnaire

$$\xi(z, t) = \hat{\xi} \sin(kz) \sin(\omega t)$$





Deux sinus de même amplitude mais direction opposé s'additionnent et font une onde stationnaire

$$\xi(z,t) = \hat{\xi} \sin(kz) \cos(\omega t) . \quad (2.34)$$

Cette fonction d'onde peut être réécrite avec les théorèmes d'addition trigonométriques en

$$\xi(x,t) = \frac{1}{2} \hat{\xi} \sin(kz - \omega t) + \frac{1}{2} \hat{\xi} \sin(kz + \omega t) . \quad (2.35)$$

Ainsi, une onde stationnaire peut également être considérée comme la superposition de deux ondes sinusoïdales de même fréquence et de même amplitude se propageant en sens contraire.

► Oscillation fondamental et harmoniques

Longueurs d'ondes possible de l'onde stationnaire :

$$\lambda_n = \frac{2}{n} L \quad n = 1, 2, 3, \dots$$

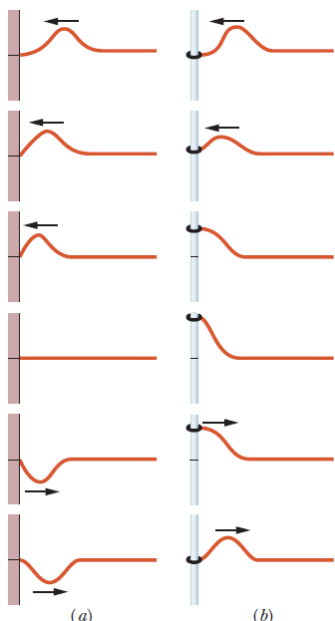
$$f_n = \frac{c}{\lambda_n} = \frac{n \cdot c}{2 \cdot L}$$

$n=1$, fréquence fondamentale
 $n > 1$, harmonique

Types de réflexion

a) réflexion rigide

b) souple



► Ondes sonores (onde mécanique dans gaz)

$$\text{Transformations adiabatiques} \quad \frac{\partial^2 \xi}{\partial t^2} = \frac{1}{\rho} \frac{\partial p}{\partial z}$$

vitesse :

$$C = \sqrt{\frac{\kappa p}{\rho}} = \sqrt{\kappa R_s T}$$

[indice adiabatique]

pression : $p(z,t) = p_m + \hat{p} \sin(kz - \omega t) \rightarrow \Delta p !$

$$\xi(z,t) = \hat{\xi} \cos(kz - \omega t)$$

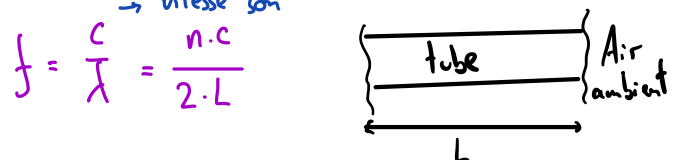
$$\hat{p} = w \rho c \hat{\xi}$$

La pression est en retard de 90° du déplacement longitudinal ξ .

► Onde stationnaire in pipes

Comme avec le fil tendu

$$f = \frac{c}{\lambda} \rightarrow \text{vitesse son}$$



► Oïe humaine 20 Hz - 20 kHz

fréquence résonance tympan : 3,4 Hz

L'oreille humaine perçoit les sons de manière logarithmique dans un domaine de 12 décades en W/m^2

Niveau sonore $L = 10 \log_{10} \frac{I}{I_0} [\text{dB}]$

► Transport d'énergie $I_0 = 10^{-12} \frac{\text{W}}{\text{m}^2}$

Oscillation entre énergie cin et pot.

Energie élément masse $dW = \frac{1}{2} \rho w^2 \hat{\xi}^2 dV$

Densité énergétique $w_{\text{mec}} = \frac{dW}{dV} = \frac{1}{2} \rho w^2 \hat{\xi}^2$

Intensité (densité flux)
énergétique $\int = w_{\text{mec}} \cdot C = \frac{\text{"P"}}{\text{A}}$

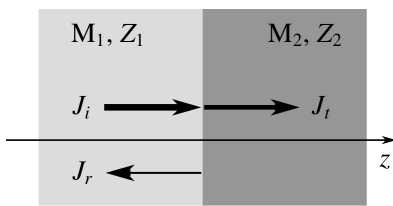
Pour onde sonore $\boxed{J = \frac{1}{2} \frac{1}{\rho \cdot c} \hat{p}^2}$

$$P_{eff} = \frac{\hat{p}}{\sqrt{2}} \Rightarrow J = \frac{1}{\rho c} P_{eff}^2$$

Impédance d'onde $Z = \rho c$

► Transmission et réflexion

Changement d'interface
une partie de l'onde
est toujours réfléchie



Coefficient réflexion

$$r = \frac{\xi_r}{\xi_i} = \frac{Z_2 - Z_1}{Z_2 + Z_1}$$

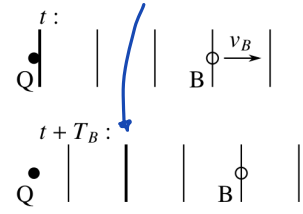
► Effet Doppler

Source ou récepteur de l'onde en mouvement dans le milieu

Source repos, observateur mouvement

$$f_B = \frac{1}{T_B} = \frac{c - v_B}{\lambda_Q} = f_Q \left(1 - \frac{v_B}{c}\right)$$

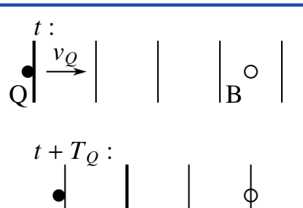
La période vue par B



Q mouvement, B repos

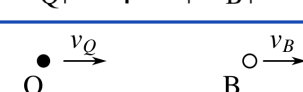
$$f_B = \frac{c}{\lambda_B} = f_Q \frac{1}{1 - \frac{v_Q}{c}}$$

$$\lambda_B = \lambda_Q - v_Q T_Q$$



Q et B en mouvement

$$f_B = f_Q \frac{c - v_B}{c - v_Q}$$



► Battement (beats)

Battement se passe quand deux ondes de fréquences légèrement différentes s'additionnent.

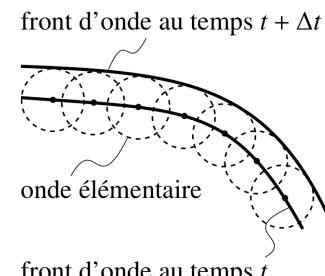
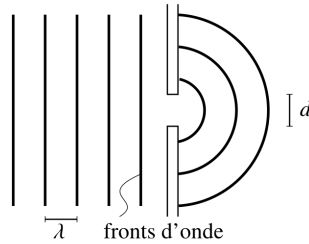
$$f_{beat} = f_1 - f_2$$

► Interférence et superposition

Principe superposition

$$\xi(z, t) = \sum_{i=1}^N a_i \xi_i(z, t) = \sum_{i=1}^N f_i(z \pm ct)$$

(⇒ analyse de Fourier)



Diffraction

changement direction onde
 $d \approx \lambda$

► Interférence 2 ondes planes

$$\xi(z, t) = \hat{\xi}_1 \sin(kz - \omega t) + \hat{\xi}_2 \sin(kz - \omega t + \Delta\varphi)$$

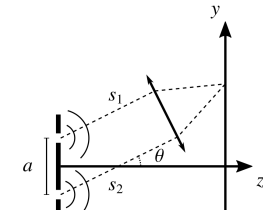
intensité: $J(\Delta\varphi) = J_1 + J_2 + 2\sqrt{J_1 J_2} \cos \Delta\varphi$

constructif (maxima) si: $\Delta\varphi = 2 \cdot n \cdot \pi, n=0,1,2,\dots$
destructif (0) si: $\Delta\varphi = (2n+1)\pi$

Pour deux sources ponctuelles

constructif $y_{max} = \frac{z}{a} \lambda n$

destructif $y_{min} = \frac{z}{a} \lambda \left(n + \frac{1}{2}\right)$



Pour deux "fentes"

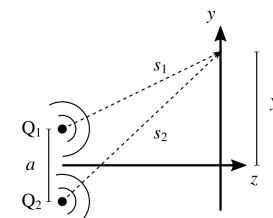
but: faire apparaître la figure d'interférence sur l'écran Y

constructif

$$\sin \theta_{max} = \frac{\lambda}{a} n$$

destructif

$$\sin \theta_{min} = \frac{\lambda}{a} \left(n + \frac{1}{2}\right)$$



⇒ spectromètres

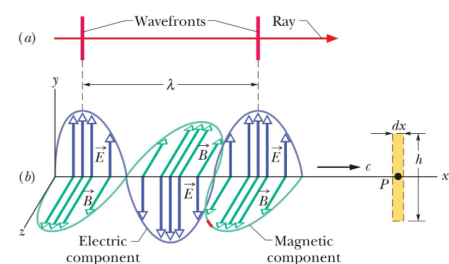
► Ondes électromagnétiques

vitesse dans vide

$$c = 299792458 \text{ m/s} \quad C = \frac{E}{B} = \frac{1}{\sqrt{\mu_0 \cdot \epsilon_0}}$$

Energy flow (poynting vector)

$$\vec{S} = \frac{1}{\mu_0} \vec{E} \times \vec{B}$$



A.5 Module de compression K

Les valeurs sont indicatives et s'appliquent à des conditions normales (20°C, 101 325 Pa).

matériaux (de)	matériaux (fr)	K / Pa
Luft	air	$1.41 \cdot 10^5$
Schmieröl	lubrifiant	$1.00 \cdot 10^9$
Wasser	eau	$2.08 \cdot 10^9$
Quecksilber	mercure	$2.85 \cdot 10^{10}$

A.6 Constante spécifique du gaz R_s et indice adiabatique κ

Les valeurs sont indicatives et s'appliquent à des conditions normales (20°C).

substance (de)	substance (fr)	symbole chim.	$R_s / \text{J kg}^{-1} \text{K}^{-1}$	$\kappa / 1$
Kohlendioxid	dioxyde de carbone	CO_2	189	1.29
Argon	argon	Ar	208	1.67
Sauerstoff	oxygène	O_2	260	1.40
Luft	air		287	1.40
Stickstoff	azote	N_2	297	1.40
Wasserstoff	hydrogène	H_2	4 124	1.41

Constant	Symbol	Computational Value
Speed of light in a vacuum	c	$3.00 \times 10^8 \text{ m/s}$
Elementary charge	e	$1.60 \times 10^{-19} \text{ C}$
Gravitational constant	G	$6.67 \times 10^{-11} \text{ m}^3/\text{s}^2 \cdot \text{kg}$
Universal gas constant	R	$8.31 \text{ J/mol} \cdot \text{K}$
Avogadro constant	N_A	$6.02 \times 10^{23} \text{ mol}^{-1}$
Boltzmann constant	k	$1.38 \times 10^{-23} \text{ J/K}$
Stefan–Boltzmann constant	σ	$5.67 \times 10^{-8} \text{ W/m}^2 \cdot \text{K}^4$
Molar volume of ideal gas at STP ^d	V_m	$2.27 \times 10^{-2} \text{ m}^3/\text{mol}$
Permittivity constant	ϵ_0	$8.85 \times 10^{-12} \text{ F/m}$
Permeability constant	μ_0	$1.26 \times 10^{-6} \text{ H/m}$
Planck constant	h	$6.63 \times 10^{-34} \text{ J} \cdot \text{s}$
Electron mass ^c	m_e	$9.11 \times 10^{-31} \text{ kg}$ $5.49 \times 10^{-4} \text{ u}$
Proton mass ^c	m_p	$1.67 \times 10^{-27} \text{ kg}$ 1.0073 u
Ratio of proton mass to electron mass	m_p/m_e	1840
Electron charge-to-mass ratio	e/m_e	$1.76 \times 10^{11} \text{ C/kg}$
Neutron mass ^c	m_n	$1.68 \times 10^{-27} \text{ kg}$ 1.0087 u
Hydrogen atom mass ^c	m_{1_H}	1.0078 u
Deuterium atom mass ^c	m_{2_H}	2.0136 u
Helium atom mass ^c	$m_{4_{He}}$	4.0026 u
Muon mass	m_μ	$1.88 \times 10^{-28} \text{ kg}$
Electron magnetic moment	μ_e	$9.28 \times 10^{-24} \text{ J/T}$
Proton magnetic moment	μ_p	$1.41 \times 10^{-26} \text{ J/T}$
Bohr magneton	μ_B	$9.27 \times 10^{-24} \text{ J/T}$
Nuclear magneton	μ_N	$5.05 \times 10^{-27} \text{ J/T}$
Bohr radius	a	$5.29 \times 10^{-11} \text{ m}$
Rydberg constant	R	$1.10 \times 10^7 \text{ m}^{-1}$
Electron Compton wavelength	λ_C	$2.43 \times 10^{-12} \text{ m}$